

3 TRANSMISIILE ROBOȚILOR

3.1 Introducere

Transmisia aparține sistemului de acționare al robotului. Ea adaptează parametrii energetici furnizați de motor cu parametrii energetici ai mișcării relative dintre elementele cuplei cinematice conducătoare acționată. Adaptarea parametrilor energetici poate avea loc fără sau cu modificarea naturii mișcării.

Modificarea parametrilor energetici printr-o transmisie se realizează după ecuația puterilor, care pentru mișcări rotative de intrare - ieșire are forma:

$$\eta \cdot M_1 \cdot \omega_1 = M_2 \cdot \omega_2 \quad (3.1)$$

iar pentru mișcarea de intrare rotativă și cea de ieșire de translație are forma:

$$\eta \cdot M_1 \cdot \omega_1 = F_2 \cdot v_2 \quad (3.2)$$

notațiile fiind: η - randamentul transmisiei, M_1 și ω_1 - momentul de intrare, respectiv, viteza unghiulară de intrare, M_2 și ω_2 - momentul de ieșire, respectiv, viteza unghiulară de ieșire, F_2 și v_2 - forța, respectiv, viteza liniară la elementul de ieșire al transmisiei.

În construcția roboților, precizia (exactitatea) cinematică a transmisiei utilizate trebuie să fie ridicată. Precizia (exactitatea) cinematică a unei transmisii se apreciază prin eroarea cinematică, ea reprezentând diferența la un moment dat între valoarea teoretică și valoarea efectiv realizată a unui parametru cinematic de ieșire (deplasare ori viteză), liniar sau unghiular. Pentru a obține precizii satisfăcătoare, trebuie evitată folosirea transmisiilor la care pot apare patinări, alunecări elastice, efecte de înfășurare poligonală. Se pot utiliza trenuri de roți dințate ordinare / planetare, cu roți dințate cilindrice, conice, melcate și cu cremalieră, dar numai luând măsuri de eliminare a jocurilor de flanc. Pot fi utilizate și transmisii cu cuplă cinematică elicoidală de alunecare, dar și la acestea se impune preluarea jocului dintre filete. Pentru construcția roboților există elaborate soluții specifice de preluare a jocurilor, dar ele au dezavantajul că măresc puterea disipată prin frecare și prin aceasta reduc randamentul transmisiei. Se recomandă folosirea transmisiilor cu erori cinematice neglijabile. Din această categorie fac parte transmisiile cu cuplă cinematică elicoidală de rostogolire, transmisiile cu dantură cicloidă, transmisiile armonice, poliangrenajele, transmisiile sincrone cu curele dințate.

3.2 Soluții constructive pentru preluarea jocului de flanc în angrenaje

Pentru preluarea jocului de flanc într-un angrenaj sau tren de roți dințate, există metode pasive și active.

Metodele pasive urmăresc apropierea roților aflate în angrenare, până la realizarea contactului bilateral între dinți. Soluțiile bazate pe metode pasive folosesc fie

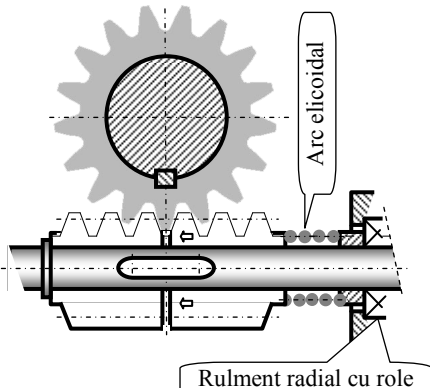
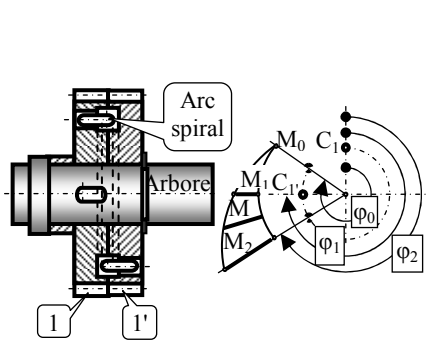
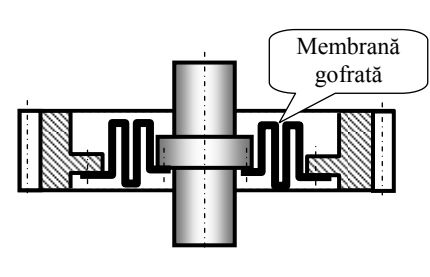
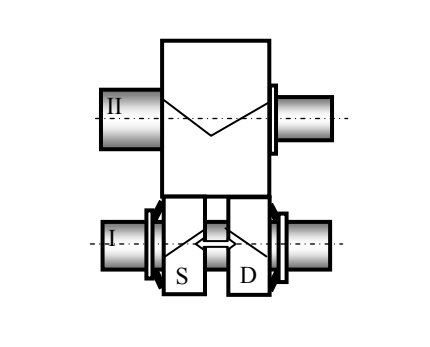
un element de reglare, fie un element elastic adaptiv. În ultimul caz apăsarea roților spre contactul dintre danturi se realizează pe seama forței / momentului generat prin montajul pretensionat al elementului elastic.

Folosirea elementului de reglare are avantajul că asigură o bună stabilitate la vibrații, dar are dezavantaje, întrucât este sensibil la dilatările termice ale roților și pe măsura uzării danturilor reclamă o refacere a reglajului. Soluțiile care utilizează un element elastic sunt mai instabile la vibrații, dar au avantajul adaptabilității la bătaile radiale ale danturilor cauzate de execuția lor necorespunzătoare și la modificările dimensionale ale danturilor cauzate de deformațiile termice și de procesul de uzare.

În Tab. 3.1 se prezintă soluții constructive tipice bazate pe metoda pasivă de eliminare a jocului de flanc la diferite tipuri de angrenaje.

Tab. 3.1

NR	SCHEMA	OBSERVAȚII
1		<p>Această soluție servește la preluarea jocului de flanc prin reglare la angrenaje cilindrice cu dinți drepecți. Una dintre roțile angrenajului este jumelată. Partea 1 este fixată prin șuruburile S_1 de arbore. Partea 1' este rotită în jurul axei sale până la eliminarea jocului de flanc față de roata conjugată, după care se strâng șuruburile S_2. Soluția prezentată poate fi aplicată atât la angrenajul cilindric exterior și interior, cât și la angrenajul cu cremalieră.</p>
2		<p>Această soluție permite eliminarea prin reglare a jocului de flanc la un angrenaj conic. Ea se bazează pe modificarea poziției axiale a uneia dintre roți. În acest scop, roata de deplasat trebuie montată pe arbore printr-un ajustaj alunecător. Deplasarea axială produsă prin rotirea piuliței de la capătul de arbore, se poartă la roată prin inelul interior al rulmentului radial cu role cilindrice și o bucsă de împingere.</p>

3		<p>Această soluție servește la eliminarea adaptivă a jocului de flanc la un angrenaj melcat. O piuliță (neprezentată explicit), înșurubată pe capătul de arbore din dreapta desenului, deplasează inelul interior al rulmentului radial cu role, comprimând prin bușca distanțoare un arc elicoidal. Forța elastică acumulată în arc asigură apăsarea într-un pachet fără joc cele două părți ale melcului, pe dintele cuprins a roții melcate.</p>
4		<p>Această soluție reprezintă varianta adaptivă a celei prezentată pe linia 1. Între părțile 1 și 1' ale roții jumelate se interpune un arc spiral pretensionat de constantă k, care în stare montată dezvoltă un moment de torsiune de valoare:</p> $M = k(\varphi_0 - \varphi) \quad \varphi \in (\varphi_1, \varphi_2)$ <p>Acest moment rotește roata 1' în raport cu axa roții 1, până la cuprinderea dintelui în angrenare a roții conjugate fără joc.</p>
5		<p>La această soluție obada dințată a uneia dintre roțile angrenajului se montează pe arbore prin intermediul unei membrane gofrate. Distanța între axe a angrenajului se realizează mai mică decât cea teoretică. Datorită elasticității radiale a membranei, se obține un angrenaj adaptiv fără joc.</p>
6		<p>La această soluție constructivă, roata condusă este danturată în V iar roata conducătoare conține două părți. Partea notată cu S are dantura înclinată spre stânga, cea notată cu D are dantura înclinată spre dreapta. Deoparte și alta ale roților S și D se găsesc niște arcuri disc montați cu pretensionare. Forța axială de pretensionare asigură suprimarea jocului de flanc din angrenaj.</p>

Metodele active folosite pentru eliminarea jocurilor de flanc presupun participarea unor părți din sistemul de comandă al robotului. Soluțiile constructive având la bază o metodă activă permit scoaterea jocurilor cumulate din partea a mai multor angrenaje legate într-un tren de roți dințate.

Soluția prezentată în Fig. 3.1 se pretează la roboții acționați hidraulic. Elementul condus al schemei este portsatelitul 4, iar elementul conducător este pinionul 1 sau pinionul 1' - după sensul de mișcare dorit. Pentru sensul de mișcare indicat cu săgeți motorul care antrenează este M_1 . Motorul M_2 fiind în această fază alimentat prin supapa de reducere a presiunii SRP_2 va dezoilenta un moment inferior lui M_1 , deci va lucra ca o pompă cu refulare la tanc, frânând mișcarea. Pentru sensul de mișcare invers motorul M_2 va antrena iar M_1 alimentat prin SRP_1 va realiza frânarea mișcării. În acest mod, sectorul dințat al roții 0 cuprins între roțile 3 și 3' rămâne mereu comprimat și în consecință întregul tren de roți va lucra fără joc în ambele sensuri. Soluția este folosită la manipulatoarele sincrone indigene MS-200, MS-500 și MS-1000.

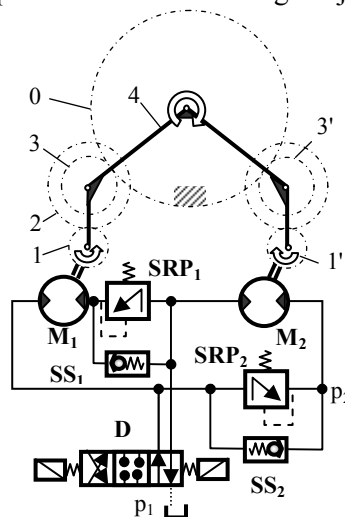


Fig. 3.1

3.3 Despre adecvabilitatea unei transmisii

Adecvabilitatea unei transmisii exprimă gradul de corelare al performanțelor sale cu cerințele de utilizare. Dintre performanțele necesare adecvării unei transmisii pentru utilizarea ei în construcția roboților s-a amintit deja precizia cinematică.

Un alt indicator este precizia (exactitatea) dinamică. Aceasta din urmă este legată de capacitatea transmisiei de a nu pierde mișcare prin deformarea elementelor sale sub sarcină. Creșterea preciziei dinamice presupune o valoare ridicată a rigidității transmisiei.

Rigiditatea unei transmisii se definește prin valoarea forței generalizate aplicată elementului de intrare, când elementul de ieșire este blocat, care produce o cedare elastică cumulată a elementelor egală cu unitatea.

Transmisiile cu rigiditate mare trebuie să conțină un număr mai mic de elemente, fiecare rigid la rândul lui.

În general sunt necesare rapoarte de transmitere mari, care după cum s-a arătat trebuie realizate într-un număr mic de trepte. Aceste cerințe pot fi soluționate, folosind reductoare planetare (reductorul precesional, reductorul cicloidal și reductorul armonic).

Creșterea preciziei dinamice a condus la elaborarea unor reductoare compacte care au volume specifice mici. Reducerea gabaritului a creat posibilitatea înglobării transmisiilor în chesoanele din care sunt alcătuite elementele structurilor portante ale dispozitivelor de ghidare, condiție care stă la baza asigurării supleței roboților.

În Fig. 3.2 este ilustrată folosirea reduc-torului precesional la acționarea unei cuple cinematice conducătoare de rotație, aparținând unui robot suplu. Elementul considerat fix al cuplei cinematice conducătoare este notat cu 1, iar cel condus, cu 2. Reductorul precesional conține un tambur 5, solidar cu inelele de rulare 6 și 7, două roți centrale 10 și 11 cu danturi conice exterioare și un satelit 9, prevăzut pe ambele fețe cu danturi conice interioare, având numere de dinți egale. Mișcarea de intrare pătrunde la tambur de la motorul 3 prin angrenajul conic format din elementele 4 și 5. Canalul înclinat dintre inelele 6 și 7 imprimă satelitului prin corpurile de rostogolire 8 o mișcare precesională în jurul axei PP. În timpul mișcării, satelitul angrenează atât cu roata fixă 10 cât și cu roata condusă 11 legată de elementul 2. Raportul de transmitere al reductorului precesional:

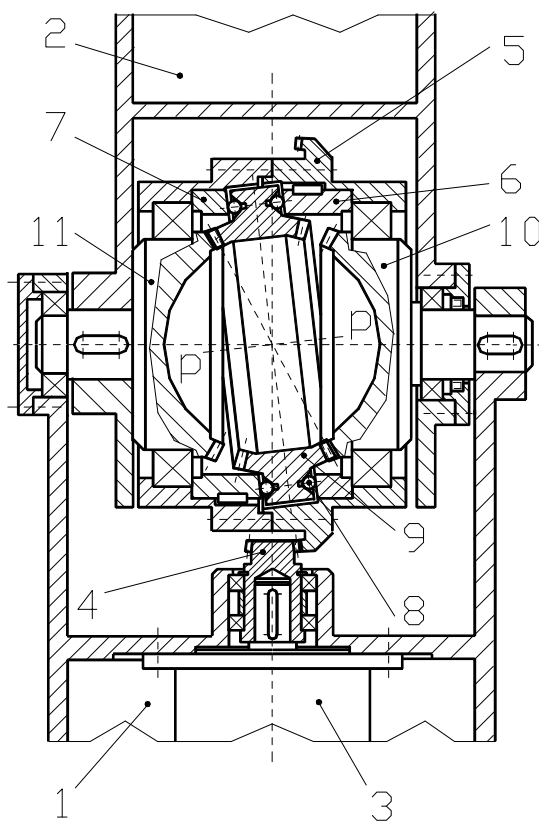


Fig. 3.2

$$i_{5,11} = z_{11} / (z_{11} - z_{10}) \quad (3.3)$$

este mare, dacă diferența numerelor de dinți ale roților centrale se alege egală cu unitatea. Aceasta este soluția obținerii în gabarit mic, a unui moment de ieșire mare.

3.4 Transmisia cu cuplă cinematică elicoidală

Transmisia cu cuplă cinematică elicoidală are la bază un mecanism șurub piuliță și este folosit pentru convertirea mișcării de rotație a șurubului în mișcare de translație a piuliței sau invers. Această transmisie intervine în construcția roboților atât ca transmisie de forță în cadrul sistemelor de acționare ale axelor de translație din mecanismele generatoare de traiectorie, în acționarea axelor de rotație ale mecanismelor de orientare, în sistemele de acționare ale meselor de poziționare-orientare și ale unor dispozitive de prehensiune cât și ca transmisie cinematică, spre

exemplu în sistemele de acționare ale cititoarelor de memorie în unitățile hard ori floppy disc, sau în cele de tip compact disc.

După tipul contactului în cupla elicoidală, transmisiile cu mecanism șurub - piuliță pot fi de alunecare și de rostogolire. Prima variantă are avantajul simplității și compactității constructive, rezistă la șocuri, amortizează vibrațiile și are un cost relativ redus, prezintă însă dezavantajul preciziei mai mici și a randamentului mecanic mai scăzut ($\eta \sim 0.2 - 0.8$). Cea de a doua variantă asigură o funcționare lină, mișcarea de ieșire rezultă precisă, randamentul mecanic este mai mare ($\eta \sim 0.85 - 0.95$), dar are o construcție complexă, necesită o întreținere grijulie și are costul mai ridicat.

3.4.1 Transmisia cu cuplă cinematică elicoidală de alunecare

Aceste transmisii au ca elemente active o tijă filetată și o piuliță. Profilul filetului este în mod obișnuit trapezoidal. După stabilirea materialelor adecvate pentru tija filetată și piulița aferentă, care să asigure creșterea randamentului și a rezistenței la uzură, prelungind astfel durata de bună funcționare a ansamblului și găsirea tehnologiilor de execuție celor mai productive, care să permită coborârea costului de fabricație odată cu ridicarea preciziei de execuție a elementelor componente, transmisia cu cuplă cinematică elicoidală de alunecare a devenit un produs de serie, tipizat.

Cu aceste transmisii pot fi soluționate trei deziderate:

- convertirea unui moment de torsiune într-o forță de împingere axială mare;
- generarea unei mișcări de translație rapidă;
- transmiterea momentului de torsiune de la tijă la piuliță, cu sau fără translatarea relativă a componentelor.

Primul deziderat presupune folosirea unui filet de pantă mică, deci cu un singur început și pas mic. Transmisiile care răspund acestor cerințe sunt executate în două variante tip: **DCM** - cu piulița flanșată (Tab. 3.2) și **DC** - cu piulița cilindrică (Tab. 3.3).

Al doilea deziderat presupune ca filetul să aibă pantă mărită, deci trebuie utilizate filete cu mai multe începuturi, intercalate în pași mari. Aceste condiții sunt îndeplinite la transmisiile de variantă **DCMA** - cu piuliță flanșată scurtă și la cele de variantă **DCMB** - cu piuliță flanșată lungă (Tab. 3.4).


Pentru realizarea celui de al treilea deziderat unghiului elicei trebuie redusă la zero, ceea ce corespunde unui unghi de pantă al filetului egal cu 90° . În acest fel filetul cu z începuturi degenerează într-o dantură dreaptă cu z dinți, denumită dantură spline. Transmisiile cu dantură spline sunt executate în două variante tip: **DPM** - cu cuzinetul flanșat (Tab. 3.5) și **DP** - cu cuzinetul cilindric (Tab. 3.6).

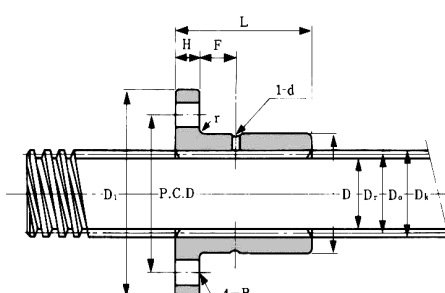
Piulițele acestor transmisii sunt executate în producția de serie prin turnare sub presiune în cochile metalice, direct la dimensiunile finite inclusiv pentru filet, economisind astfel cheltuielile de manoperă care ar fi necesare în cazul prelucrării lor prin așchiere.

Tab. 3.2

Tab. 5

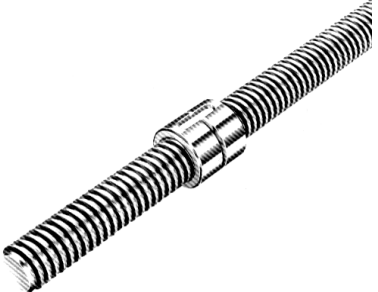
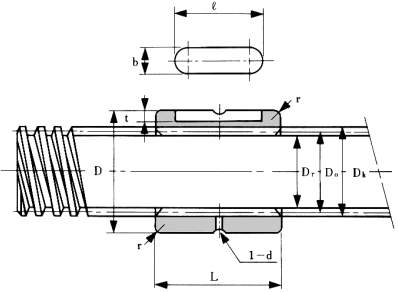
Transmisie cu cuplă cinematică elicoidală de alunecare, varianta: DCM





Simbolul piuliței	Dimensiunile piuliței [mm]									Greutate [kgf]
	D h9	L	D ₁	H	B	PCD	r	F	d	
DCM 12	22	30	44	6	5,4	31	1,5	7	1,5	0,100
DCM 14										0,085
DCM 16	28	35	51	7	6,6	38	1,5	8	1,5	0,160
DCM 20	32	40	56	7	6,6	42	1,5	10.5	2	0,210
DCM 25	36	50	61	8	6,6	47	2	14	2,5	0,290
DCM 32	44	56	76	10	9	58	2	15	2,5	0,490
DCM 36	52	60	84	10	9	66	2,5	17	3	0,670
DCM 40	58	70	98	12	11	76	2,5	19	3	0,980
DCM 45	64	75	104	12	11	80	2,5	21.5	4	1,310
DCM 50	68	80	109	12	11	85	2,5	24	4	1,430
Simbolul șurubului	Dimensiunile șurubului [mm]						Greutate liniară [kgf/m]	Forța dinamică axială permisă F _d [kgf]		
	D _k	D ₀	D _r	e pasul elicei	α [°] unghiul elicei	Lungime standard				
CS 12	12	11	9,5	2	3°19′	1000	0,800	400		
CS 14	14	12,5	10,5	3	4°22′		1,000	500		
CS 16	16	14,5	12,5	3	3°46′		1,300	680		
CS 20	20	18	15,5	4	4°03′	1500	2,000	1000		
CS 25	25	22,5	19,5	5	4°03′		3,100	1450		
CS 32	32	29	25,5	6	3°46′	2000	5,200	2150		
CS 36	36	33	29,5	6	3°19′		6,700	2630		
CS 40	40	37	33,5	6	2°57′		8,400	3450		
CS 45	45	41	36,5	8	3°33′	3000	10,400	4290		
CS 50	50	46	41,5	8	3°10′		13,000	5110		


Tab. 3.3

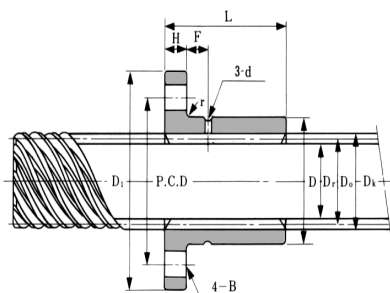
Transmisie cu cuplă cinematică elicoidală de alunecare, varianta: DC									
									
Simbolul piuliței	Dimensiunile piuliței [mm]							Greutate [kgf]	
	D h9	L -0,3	r	b N9	t	ℓ	d		
DC 12	22	22	1	4	2	16	1,5	0,040	
DC 14								0,045	
DC 16	28	26	1	5	2,5	18	1,5	0,075	
DC 20	32	31	1	7	2,5	22	2	0,110	
DC 25	36	40	1	7	2,5	26	2,5	0,155	
DC 32	44	45	1,5	10	4	32	2,5	0,230	
DC 36	52	49	1,5	12	4,5	40	3	0,380	
DC 40	58	57	1,5	15	5	42	3	0,520	
DC 45	64	62	1,5	15	5	48	4	0,730	
DC 50	68	67	1,5	15	5	52	4	0,810	
Simbolul șurubului	Dimensiunile șurubului [mm]						Greutate liniară [kgf/m]	Forța dinamică axială permisă F _d [kgf]	
	D _k	D ₀	D _r	e pasul elicei	α [°] unghiul elicei	Lungimi standard			
CS 12	12	11	9,5	2	3°19'	1000	0,800	290	
CS 14	14	12,5	10,5	3	4°22'		1,000	370	
CS 16	16	14,5	12,5	3	3°46'		1,300	500	
CS 20	20	18	15,5	4	4°03'	1500	2,000	780	
CS 25	25	22,5	19,5	5	4°03'		3,100	1160	
CS 32	32	29	25,5	6	3°46'	2000	5,200	1740	
CS 36	36	33	29,5	6	3°19'		6,700	2160	
CS 40	40	37	33,5	6	2°57'		8,400	2800	
CS 45	45	41	36,5	8	3°33'	3000	10,400	3560	
CS 50	50	46	41,5	8	3°10'		13,000	4270	

Tab. 3.4

Tab. 5.

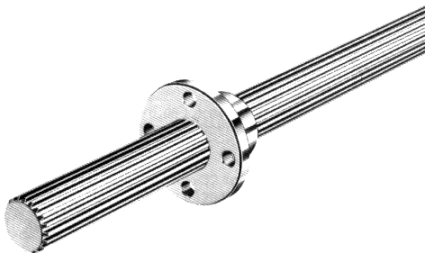
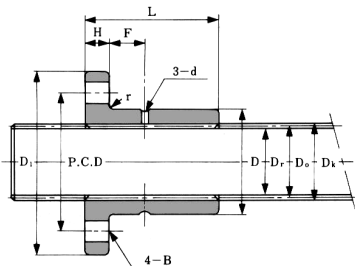
Transmisia cu cuplă cinematică elicoidală de alunecare, varianta: **DCMA / DCMB**





Simbolul piuliței	Dimensiunile piuliței [mm]									Greutate [kgf]	
	D h9	L	D ₁	H	B	P C D	r	F	d		
DCMA 15 T	22	15	44	6	5,4	31	1,5	4,5	1,5	0,060	
DCMB 15 T		30								0,085	
DCMA 20 T	32	20	56	7	6,6	42	1,5	6,5	2	0,135	
DCMB 20 T		40								0,210	
DCMA 30 T	44	28	76	10	9	58	2	9	2	0,290	
DCMB 30 T		56								0,465	
DCMA 40 T	58	35	98	12	11	76	2,5	11,5	3	0,715	
DCMB 40 T		70								1,065	
DCMA 50 T	68	40	109	12	11	85	2,5	14	3	0,925	
DCMB 50 T		80								1,375	
Simbolul șurubului	Dimensiunile șurubului [mm]					z număr dinți	α [°] unghiul elicei	Greut. liniară [kgf/m]	Mom. de torsiune dinamic permis M _d [kgfm]	Forța dinamică axială permisă F _d [kgf]	
	D _k	D ₀	D _r	e pasul elicei	Lungimi standard						
CT 15 T	15,8	13,7	11,6	44,4	500	8	45	1,2	1,7	235	
CT 15 T					1000				3,3	470	
CT 20 T	21,2	18,7	16,2	60	500	9		2,6	4,1	425	
CT 20 T					1000 1500				8,1	850	
CT 30 T	31,9	29,4	26,9	93,3	500	14		5,3	13,3	825	
CT 30 T					1000				27,4	1650	
CT 40 T	44	38,18	33,3	119,9	2000	12		9,0	38,9	2040	
CT 40 T									77,8	4080	
CT 50 T	52	47,73	42,9	149,9	1000	15		14,0	69,5	2910	
CT 50 T					2000 3000				139	5820	

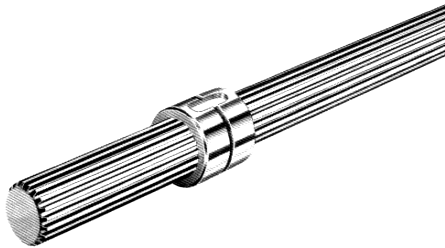
Tab. 3.5

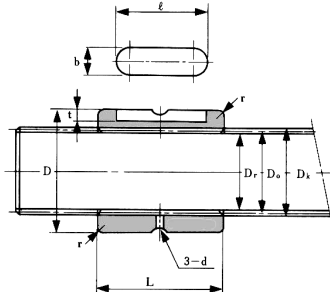
Transmisia cu cuplă cinematică de alunecare cu dantură spline, varianta: DPM											
											
Simbolul cuzinetului	Dimensiunile cuzinetului [mm]									Greutate [kgf]	
	D h9	L	D ₁	H	B	PCD	r	F	d		
DPM 1520	22	20	44	6	5,4	31	1,5	7	1,5	0,07	
DPM 1530		30								0,08	
DPM 2028	32	28	56	7	6,6	42	1,5	10,5	1,5	0,16	
DPM 2040		40								0,20	
DPM 3040	44	40	76	10	9	58	2	15	2	0,40	
DPM 3056		56								0,48	
DPM 4050	58	50	98	12	11	76	2,5	19	3	0,83	
DPM 4068		68								0,97	
DPM 5060	68	60	109	12	11	85	2,5	24	3,5	1,08	
DPM 5080		80								1,29	
Simbolul tije	Dimensiunile tije [mm]				z - număr de dinți	Greutate liniară [kgf/m]	Mom. de torsiune dinamic permis M _d [kgfm]				
	D _k	D ₀	D _r	Lungime standard							
SS 15	16,1	15	13,5	1500	16	1,4	3,1				
SS 15							4,7				
SS 20	21,5	20	18,3		16	2,5	7,2				
SS 20							10,2				
SS 30	31,8	30	28,2		20	5,5	21,6				
SS 30							30,3				
SS 40	42,4	40	37,5		20	9,8	49,0				
SS 40							68,6				
SS 50	53,0	50	46,8		20	15,4	92,8				
SS 50							124,0				

Tab. 3.6

Tab. 2

Transmisia cu cuplă cinematică de alunecare cu dantură spline, varianta: **DP**





Simbolul cuzinetului	Dimensiunile cuzinetului [mm]							Greutate [kgf]
	D h9	L -0,3	r	b N9	t	ℓ	d	
DP 12	22	22	1	4	2	16	1,5	0,040
DP 15	22	22	1	4	2	16	1,5	0,030
DP 17	28	26	1	5	2,5	18	1,5	0,065
DP 20	32	31	1	7	2,5	22	1,5	0,100
DP 25	36	40	1	7	2,5	26	2	0,135
DP 30	44	45	1,5	10	4	32	2	0,230
DP 35	52	49	1,5	12	4,5	40	2,5	0,360
DP 40	58	57	1,5	15	5	42	3	0,510
DP 45	64	62	1,5	15	5	48	3	0,640
DP 50	68	67	1,5	15	5	52	3,5	0,710

Simbolul tije	Dimensiunile tije [mm]				z număr de dinți	Greutate liniară [kgf/m]	Mom. de torsiune dinamic permis M _d [kgfm]
	D _k	D ₀	D _r	Lungime standard			
SS 12	12,8	12	10,9	1500	16	0,9	2,0
SS 15	16,1	15	13,5			1,4	3,4
SS 17	18,2	17	15,4			1,7	4,9
SS 20	21,5	20	18,3			2,5	7,9
SS 25	26,9	25	22,6			3,8	17,2
SS 30	31,8	30	28,2			5,5	24,3
SS 35	37,1	35	32,8		20	7,5	36,9
SS 40	42,4	40	37,5			9,8	55,8
SS 45	47,7	45	42,1			12,4	78,2
SS 50	53,0	50	46,8			15,4	104,0

În scopul turnării a fost elaborat un aliaj special, cu compoziția Al - (3 ~ 4)%, Cu - (3 ~ 4)%, Mg - (0,03 ~ 0,06)%, Be - (0,02 ~ 0,06)%, Ti - (0,04 ~ 0,12)% și restul Zn, având proprietăți termice excelente pentru turnarea de precizie (temperatura de topire 390°C, căldura specifică de 0,11 kcal / kg / °C), proprietăți mecanice bune (efortul unitar admis la tracțiune $\sigma_{adm} = 22 \sim 25$ kgf/mm², efortul unitar admis de compresiune $\sigma_{c adm} = 30 \sim 40$ kgf/mm², duritatea de 120 ~ 145 HV) și rezistența la uzare apropiată cu a bronzului fosforos (Fig.3.3).

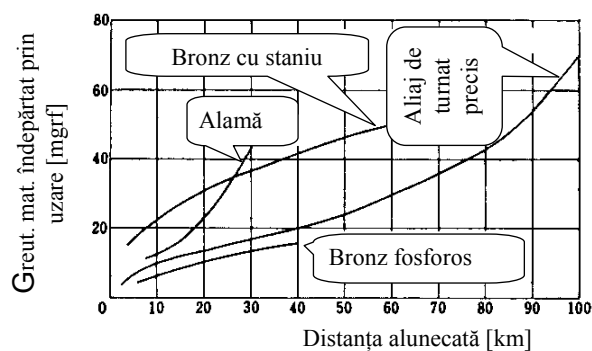
Tijele transmisiilor cu cuplă cinematică de alunecare se execută din oțeluri carbon de îmbunătățire. Filetul se realizează prin rulare (T), aşchiere fină (K) și rectificare (G) iar dantura spline prin roluire (T). Calitatea suprafeței și precizia filetului sunt determinate de tehnologia de filetare (Tab. 3.7).

La o rugozitate de finisare dată, duritatea suprafeței de contact a tijei este hotărâtoare asupra duratei de viață a piuliței. Curba de uzare redată în Fig. 3.4 arată, că duritatea tijei trebuie să depășească 250 HV.

Cu tehnologiile de tip T duritățile necesare se obțin fără aplicarea vreunui tratament termic, deoarece ele ecruisează materialul în stratul superficial, netezind totodată excelent flancul filetului.

Netezimea flancului filetului ușurează întinderea unguentului în cupla cinematică de alunecare într-o peliculă continuă, reducând coeficientul de frecare.

Randamentul η al transmisiei depinde de coeficientul de frecare μ prin relația:



Cond. exp.: - maș. de înc. la uzare: Amsler
- turația: 185 rot / min;
- încărcarea: 40 kgf;
- lubrifiant: Dynamo oil

Fig. 3.3

Tab. 3.7

Rugozitatea și precizia	Tehnologia de filetare		
	T	K	G
Rugozitatea [μm]	0,4	3,2	0,8
Eroarea de pas [mm]	±0,02	±0,015	±0,005
Eroarea cumulată de pas la 300 mm avans [mm]	±0,15	±0,050	±0,015

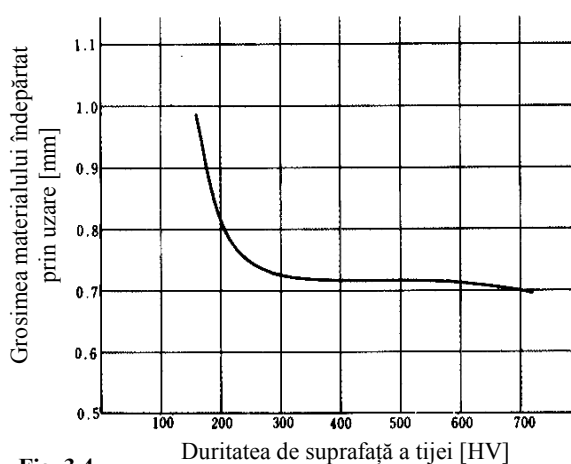


Fig. 3.4

$$\eta = \frac{1 - \mu \cdot \operatorname{tg} \alpha}{1 + \mu / \operatorname{tg} \alpha} \quad (3.4)$$

α fiind unghiul de pantă al filetului. Curbele $\eta(\alpha)$ cu μ parametru sunt prezentate în Fig. 3.5. Se vede, că micșorarea lui μ îmbunătățește semnificativ randamentul transmisiei.

Cunoașterea randamentului se impune fie pentru calculul momentului de torsiune M_T de aplicat șurubului pentru a deplasa ghidat o sanie cu piuliță împotriva forței de rezistență axială redusă F_{red} (Fig. 3.6-a), folosind relația:

$$M_T = \frac{F_{red} \cdot e}{2 \cdot \pi \cdot \eta} \quad (3.5)$$

fie pentru calculul forței axiale F_{AX} de aplicat șurubului pentru antrenarea unui butuc rotitor solidarizat cu piulița, împotriva unui moment rezistent redus M_{red} (Fig. 3.6-b), folosind relația:

$$F_{AX} = \frac{2 \cdot \pi \cdot M_{red}}{\eta \cdot e} \quad (3.6)$$

unde cu e s-a notat pasul filetului.

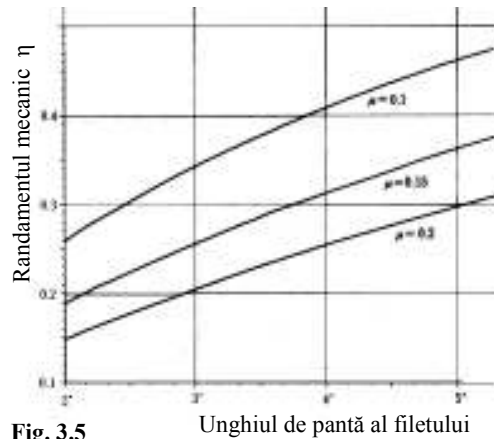


Fig. 3.5

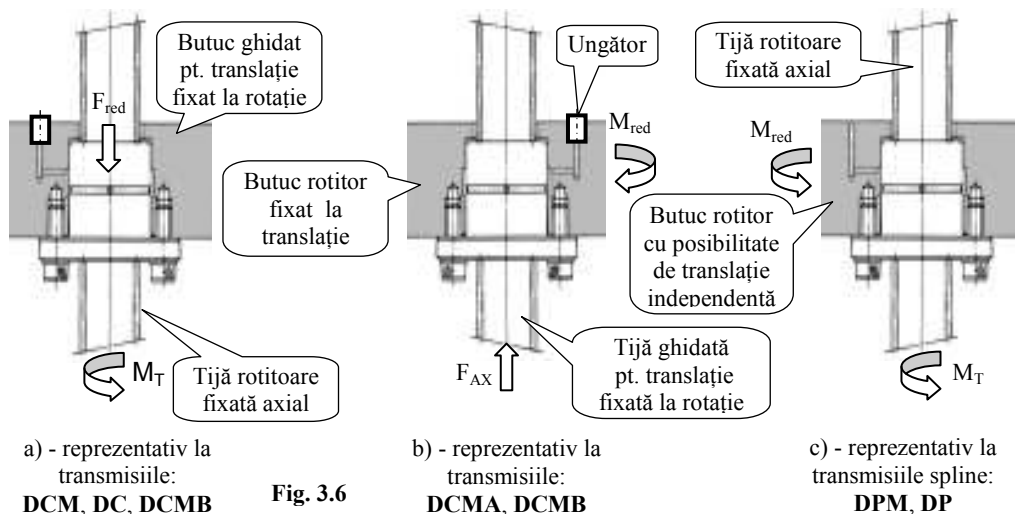


Fig. 3.6

La transmisia cu dantură spline momentul se transmite integral (Fig. 3.6-c), întrucât nu se disipează putere prin frecare în lipsa mișcării de translație dependentă de rotația componentelor. Deci în acest caz:

$$M_T = M_{red} \quad (3.7)$$

Mărimea unei transmisii cu cuplă cinematică elicoidală de alunecare se alege din tabelele dimensionale pe baza valorii forței dinamice permise F_d , respectiv a valorii momentului dinamic permis M_d . Acestea reprezintă încărcări stabilite din condiția să producă pe aria de contact a filetelor presiuni de 1 kgf/mm^2 și sunt specificate în tabelele dimensionale ale transmisiilor.

Forța dinamică permisibilă necesară se calculează cu relația:

$$F_{d\text{ nec}} \geq \frac{f_s}{f_T} \cdot F_{red} \quad (3.8)$$

iar momentul dinamic permisibil necesar, cu relația:

$$M_{d\text{ nec}} \geq \frac{f_s}{f_T} \cdot M_{red} \quad (3.9)$$

Factorul de siguranță f_s ține seama de dinamica încărcării transmisiei (Tab. 3.8), iar factorul de temperatură f_T , de temperatura de lucru a acestea (Tab. 3.9).

Tab. 3.8

Tipul încărcării	f_s
Încărcare constantă modificată rar	1 - 2
Încărcare frecventă într-un sens	2 - 3
Încărcare cu vibrații sau șocuri	≥ 4

Tab. 3.9

Temp. °C	≤ -20	-20~5	5~60	60~120
f_T	0,2	0,2-0,5	1,0	0,5-1,0

mitente cu viteze mici, ungerea se realizează prin gresare cu unsoare consistentă, conținând săpun de litiu.

Pentru transmisia care se alege, valorile de catalog ale lui F_d sau M_d trebuie să fie superioare valorilor de calcul.

În documentațiile tehnice transmisiile cu cuplă cinematică elicoidală de alunecare se specifică

DCMB20 T + 360L

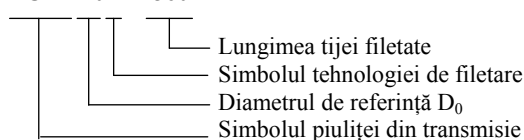


Fig. 3.7

codificat. La alcătuirea codului intervin: simbolul piuliței (sau a cuzinetului), valoarea diametrului de referință a filetului D_0 , simbolul tehnologiei de filetare și lungimea tijei filetate, așa cum s-a indicat în Fig. 3.7. Lungimea tijei trebuie să fie inferioară lungimii standard, aceasta fiind cea mai mare lungime executată în serie.

După selectarea unei mărimi, trebuie verificat dacă regimul de funcționare nu periclitează transmisia la gripare. În acest scop se utilizează nomograme pv, având pe axa p - presiunea de contact, iar pe axa v - viteza de alunecare relativă a filetelor. Puterii maxim disipabile prin frecare pe unitatea de arie a cuplei cinematice elicoidale îi corespunde în nomogramă o linie critică, care pentru aliajul de turnare amintit este cea redată în Fig. 3.8. Pentru evitarea gripajului, punctul de funcționare de coordonate p și v , trebuie să fie sub linia critică.

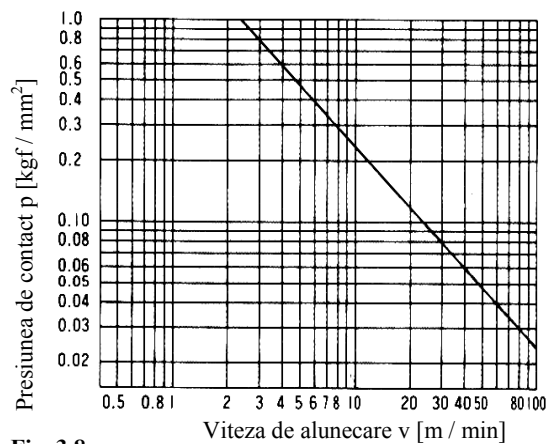


Fig. 3.8

Presiunea de contact depinde de încărcarea elementului condus. Dacă încărcarea este o forță redusă F_{red} exprimată în kgf, presiunea de contact se calculează cu:

$$p = \frac{F_{red}}{F_d} \quad [kgf/mm^2] \quad (3.10)$$

iar dacă încărcarea este un moment de torsiune redus M_{red} exprimat în kgfm, presiunea de contact se calculează cu:

$$p = \frac{M_{red}}{M_d} \quad [kgf/mm^2] \quad (3.11)$$

Viteza de alunecare în cupla elicoidală se determină cu relația:

$$v = \frac{\pi \cdot D_0 \cdot n}{\cos \alpha} \quad (3.12)$$

unde n este turația tijei filetate. Cunoscând viteza de avans s a saniei antrenate, turația va rezulta din relația:

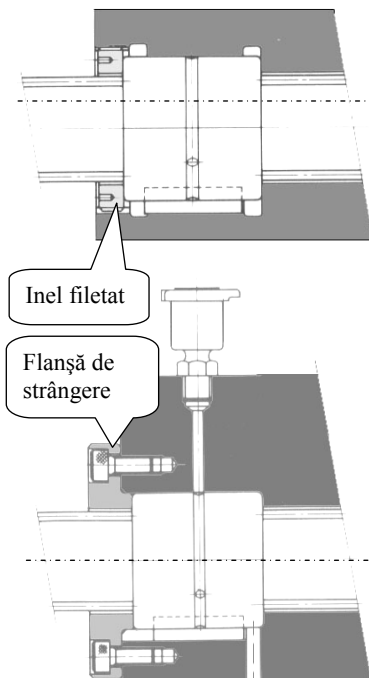


Fig. 3.9

$$n = s/e \quad (3.13)$$

La transmisiile cu dantură spline, viteza de alunecare este egală cu viteza avansului axial. Dacă punctul de funcționare rezultă deasupra liniei critice, se impune alegerea altei transmisii cu valoarea lui F_d , sau M_d mai mare.

O piuliță cu flanșă se montează în alezajul saniei după modelele redată în Fig. 3.6. Exemple de montare ale piulițelor cilindrice sunt prezentate în Fig. 3.9. Alezajele se execută în câmpul de toleranță H8 sau J8 pentru a forma cu piulița un ajustaj de alunecare sau intermediar. Pentru așezarea corectă a flanșei, alezajul trebuie teșit la $(r+0,5) \times 45^\circ$.

3.4.2 Transmisia cu cuplă cinematică elicoidală de rostogolire

Aceste transmisii au ca elemente principale o tijă și o nucă filetate. Profilul filetelor este semicircular în secțiunea normală la linia elicei. Cele două filete închid o cale de rulare umplută cu bile, care se rostogolesc în timpul funcționării transmisiei atât pe tijă cât și în nucă. Această mișcare relativă impune recircularea bilelor. Există două soluții constructive pentru recircularea corpurilor de rostogolire: cu tub de recirculare - utilizată în cazul filetelor cu un singur început (Fig. 3.10-a), respectiv cu piese de capăt prevăzute cu canale de întoarcere a bilelor - utilizată la filete cu mai multe începuturi (Fig. 3.10-b).

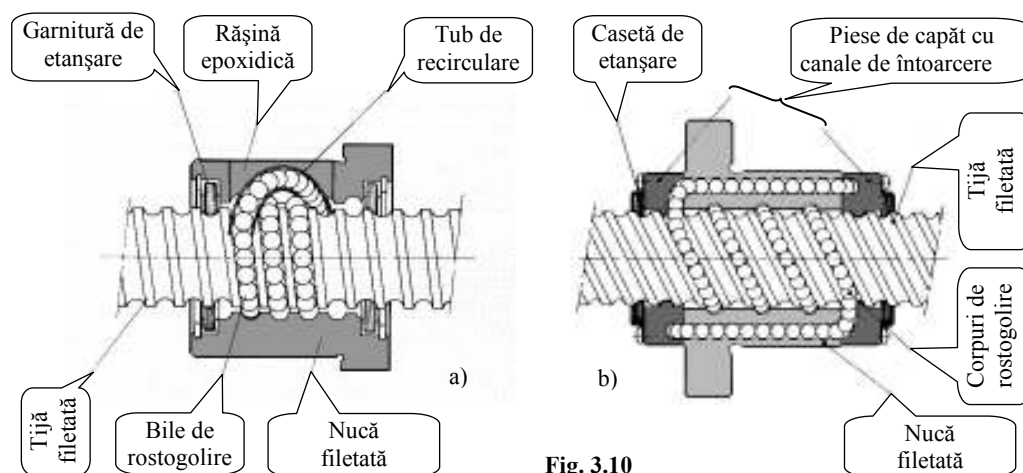


Fig. 3.10

Tubul de recirculare a bilelor se fixează de corpul nucii prin intermediul unei bride sau printr-un pat turnat în rășină epoxidică. La a doua metodă, pentru același diametru a tijei filetate, dimensiunile radiale ale transmisiei sunt mai mici.

Bilele de rostogolire sunt preluate din fabricația de serie a rulmenților. Tijă filetată se execută din oțel aliat cu crom, prin strunjire, călirea prin inducție a căii de rulare la duritatea de 57 ~ 64 HRC și rectificare. Pentru execuția filetelor cu mai multe începuturi se practică și procedura de rulare, fiind mai productivă și mai ieftină. Nuca se realizează din oțel aliat cu crom și molibden, carburat și călit la duritatea de 58 ~ 64 HRC.

După valoarea erorii cumulate de pas pe 300 mm lungime de tijă, transmisiile cu cuplă elicoidală de rostogolire sunt categorisite în clase de precizie (Tab. 3.10), iar după valoarea jocului axial din cupla elicoidală - în grupe de precizie (Tab. 3.11).

Tab. 3.10

Clasa de precizie	C ₀	C ₁	C ₂	C ₃	C ₅
Eroarea cumulată de pas [μ/300mm]	3,5	5	7	8	18

Tab. 3.11

Grupele de precizie		G ₀	G ₁	G ₂	G ₃
Valoarea jocului axial [mm]	La filetul prelucrat prin așchiere	sub 0	0 ~ 0,01	0 ~ 0,02	0 ~ 0,05
	La filetul prelucrat prin rulare	-	0,1	0,2	0,25

Transmisiile cu cuple cinematice elicoidale de rostogolire sunt tipizate în funcție de forma nucii și după modul de realizare a recirculării bilelor. Dimensiunile unor variante tip sunt redată în Tab. 3.13 - Tab. 3.19.

Mărimea unei transmisii se alege pe baza capacității sale de încărcare statică C_{0a}. Se înțelege prin capacitate de încărcare statică a transmisiei forța de încărcare axială, care produce asupra bilelor, în punctele de contact cu căile de rulare, o deformare permanentă egală cu 10⁻⁴ din diametrul lor. Până la această deformare mișcarea decurge lin. Capacitatea de încărcare statică necesară se calculează cu relația:

$$C_{0a\ nec} \geq f_s \cdot F_{red} \quad (3.14)$$

unde F_{red} este forța axială rezistentă redusă la elementul condus iar f_s este factorul de sarcină, care ține seama de dinamica funcționării transmisiei (Tab. 3.12). La alegerea din tabele dimensionale, mărimea transmisiei va trebui să aibă capacitatea de încărcare statică superioară celei calculate.

Tab. 3.12

Dinamica de funcționare	f _s
Funcționare normală	1 ~ 2
Funcționare cu vibrații și șocuri	2 ~ 3

În documentația tehnică o transmisie tipizată cu cuplă cinematică elicoidală de rostogolire se notează codificat.

În alcătuirea codului intră: simbolul nucii, diametrul exterior al tijei filetate, pasul și sensul înclinării filetului, numărul de circuite × numărul turelor pe circuit, specificarea etanșării - dacă se cere, grupa jocului axial, lungimea tijei filetate, forma capetelor de arbore și clasa de precizie a pasului (Fig. 3.11).

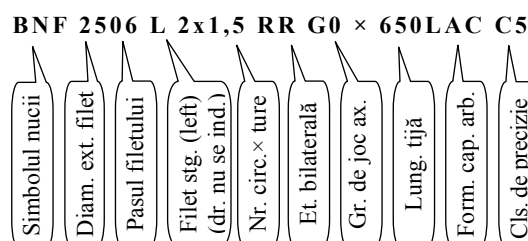


Fig. 3.11

Prezența jocului axial diminuează precizia transmisiei. Utilizarea grupe de precizie G₀ nu este indicată datorită costului ridicat. O metodă mai eficientă pentru reducerea jocului axial, chiar la valori negative, constă în pretensionarea transmisiei.

Tab. 3.14

Pag. 3.

Transmisie cu cuplă cinematică elicoidală de rostogolire, varianta: **BN**

Dimensiuni [mm]

Simbol

d

e
pas

D_a
diam bilă

dp

d_1

Circuite
x ture

D

F

L

BN 1605-2.5

16

5

3.175

16.75

13.2

1x2.5

40

32

38

BN 2005-3

20

5

3.175

20.75

17.2

2x1.5

44

42

48

BN 2005-5

20

5

3.175

20.75

17.2

2x2.5

39

44

52

BN 2510A-2.5

25

10

4.763

26.3

21.4

1x2.5

58

39

65

BN 3210A-3

32

10

6.350

33.75

26.4

2x1.5

74

71

85

BN 3608-5

36

8

4.763

37.25

31.6

2x2.5

70

64

84

BN 4010-3

40

10

6.350

41.75

34.4

2x1.5

82

71

85

BN 4510-5

45

10

6.350

46.75

39.5

2x2.5

88

80

106

BN 5012-5

50

12

7.938

52.25

43.3

2x2.5

100

100

116

BN 6312A-5

63

12

7.938

65.25

56.3

2x2.5

115

100

116

BN 7010-5

70

10

6.350

71.75

64.5

2x2.5

125

80

106

BN 8010-5

80

10

6.350

81.8

75.2

2x2.5

130

84

98

BN 8020A-5

80

20

9.525

82.7

72.9

2x2.5

143

150


184

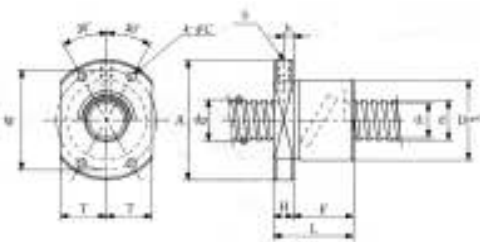
Simbol	Dimensiuni [mm]				Capacit. de înc.		Rigid
	M	J	b	t	C _a kgf	C _{0a} kgf	K kgf/μm
BN 1605-2.5	3	20	5	3	760	1420	17
BN 2005-3	3	25	5	3	990	2140	24
BN 2005-5	3	25	5	3	1540	3570	39
BN 2510A-2.5	13	25	8	4	1610	3370	26
BN 3210A-3	7	40	10	5	3110	6880	39
BN 3608-5	10	40	8	4	3480	9700	66
BN 4010-3	7	50	10	5	3470	8620	46
BN 4510-5	13	50	10	5	5670	16200	82
BN 5012-5	8	50	12	5	8040	22500	92
BN 6312A-5	8	50	12	5	8920	28400	111
BN 7010-5	13	50	12	5	6830	25200	116
BN 8010-5	7	50	12	5	7200	28900	129
BN 8020A-5	17	63	14	5.5	16700	60100	175

Tab. 3.15

Tab. 3.1

Transmisie cu cuplă cinematică elicoidală de rostogolire, varianta: **BTK**





Simbol	Dimensiuni [mm]								
	d	e pas	D _a diam bilă	dp	d ₁	Circuite x ture	D	L	A
BTK 1405A	14	5	3.175	14.5	11.2	1x2.65	32	40	50
BTK 1605A	16	5	3.175	16.75	13.5	1x2.65	34	40	54
BTK 1808C	18	8	4.763	19.3	14.4	1x3.65	50	61	80
BTK 2010A	20	10	4.763	21.25	16.4	1x2.65	52	61	82
BTK 2510B	25	10	6.350	26.8	20.2	2x2.65	60	98	96
BTK 2806B	28	6	3.175	28.5	25.2	2x2.65	50	65	80
BTK 3210A	32	10	6.350	33.75	27.2	1x2.65	67	68	103
BTK 3210B	32	10	6.350	33.75	27.2	2x2.65	67	98	103
BTK 3610A	36	10	6.350	37	30.5	1x2.65	70	70	110
BTK 3610B	36	10	6.350	37	30.5	2x2.65	70	100	110
BTK 4010B	40	10	6.350	41.75	35.2	2x2.65	76	100	116
BTK 4512B	45	12	7.144	46.5	39.2	2x2.65	82	118	128
BTK 5016B	50	16	9.525	52.7	42.9	2x2.65	102	145	162

Simbol	Dimensiuni [mm]							Capacit. de înc.		
	H	F	W	C	T	h	S	Lungimi standard	C _a kgf C _{0a} kgf	
BTK 1405A	10	30	40	4.5	19	5	M6x1	500,1000	510	1160
BTK 1605A	10	30	44	4.5	20	5	M6x1		550	1360
BTK 1808C	12	49	65	6.6	30	5	M6x1		1340	3170
BTK 2010A	12	49	67	6.6	32	5	M6x1	500, 1000, 1500	1080	2570
BTK 2510B	15	83	78	9.0	36	5	M6x1		3190	8540
BTK 2806B	12	53	65	6.6	30	6	M6x1	500, 1000, 2000, 2500	1300	4780
BTK 3210A	15	53	85	9.0	39	5	M6x1	500, 1000, 1500, 2000, 2500	2020	5490
BTK 3210B	15	83	85	9.0	39	5	M6x1		3670	11000
BTK 3610A	17	53	90	11	41	7	M6x1	500, 1000, 2000, 2500, 3000	2130	6060
BTK 3610B	17	83	90	11	41	7	M6x1		3860	12100
BTK 4010B	17	83	96	11	44	7	M6x1	max 3500	4110	13800
BTK 4512B	20	98	104	14	47	8	M6x1	1000, 1500, 2000, 3000, 3500, 4000	5060	17300
BTK 5016B	25	120	132	18	52	12.5	PT1/8		9580	32200

Tab. 3.16

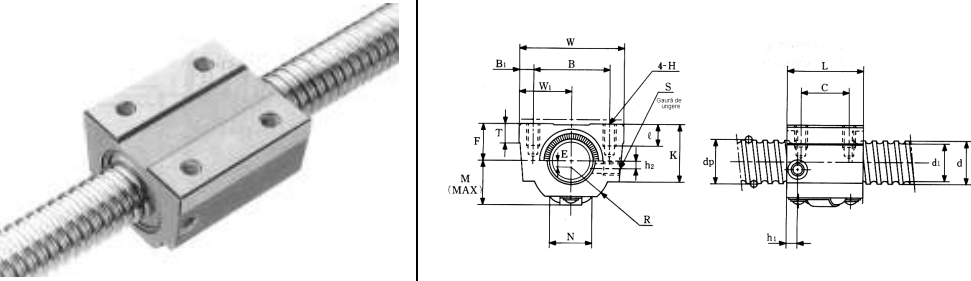
Tab. 3.

Transmisie cu cuplă cinematică elicoidală de rostogolire, varianta: **BT**

Simbol	Dimensiuni [mm]							
	d	e pas	D _a diam bilă	dp	d ₁	Circuite x ture	D	L
BT 1405A	14	5	3.175	14.5	11.2	1x2.65	32	36
BT 1605A	16	5	3.175	16.75	13.5	1x2.65	34	36
BT 1808C	18	8	4.763	19.3	14.4	1x3.65	50	56
BT 2010A	20	10	4.763	21.25	16.4	1x2.65	52	58
BT 2510B	25	10	6.350	26.8	20.2	2x2.65	60	94
BT 2806B	28	6	3.175	28.5	25.2	2x2.65	50	60
BT 3210A	32	10	6.350	33.75	27.2	1x2.65	67	64
BT 3210B	32	10	6.350	33.75	27.2	2x2.65	67	94
BT 3610A	36	10	6.350	37	30.5	1x2.65	70	64
BT 3610B	36	10	6.350	37	30.5	2x2.65	70	94
BT 4010B	40	10	6.350	41.75	35.2	2x2.65	76	94
BT 4512B	45	12	7.144	46.5	39.2	2x2.65	82	111
BT 5016B	50	16	9.525	52.7	42.9	2x2.65	102	129


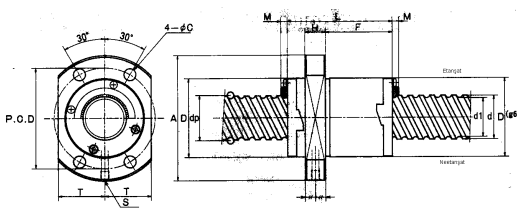
Simbol	Dimensiuni [mm]				Capacit. de înc.	
	b	t	J	Lungimi standard	C _a kgf	C _{0a} kgf
BT 1405A	4	2.5	20	500,1000	510	1160
BT 1605A	5	3	20		550	1360
BT 1808C	6	3.5	32		1340	3170
BT 2010A	6	3.5	32	500, 1000, 1500	1080	2570
BT 2510B	8	4	50		3190	8540
BT 2806B	6	3.5	32	500, 1000, 2000, 2500	1300	4780
BT 3210A	8	4	32	500, 1000, 1500, 2000, 2500	2020	5490
BT 3210B	8	4	50		3670	11000
BT 3610A	8	4	32	500, 1000, 2000, 2500, 3000	2130	6060
BT 3610B	8	4	50		3860	12100
BT 4010B	8	4	50	1000, 1500, 2000, 3000, 3500	4110	13800
BT 4512B	10	5	63	1000, 1500, 2000, 3000, 3500, 4000	5060	17300
BT 5016B	12	5	75		9580	32200

Tab. 3.17

Transmisie cu cuplă cinematică elicoidală de rostogolire, varianta: BNT														
														
Simbol	Dimensiuni [mm]													
	d	e pas	D ^a Diam. bilă	dp	d ₁	Circuite x ture	W	W ₁ ±0.05	B	B ₁	L	C	H x l	
BNT 1404C	14	4	2.778	14.4	11.5	1x3.65	34	17	26	4	35	22	M4 x7	
BNT 1405A	14	5	3.175	14.5	11.2	1x2.65	34	17	26	4	35	22	M4 x7	
BNT 1808C	18	8	4.763	19.3	14.4	1x3.65	48	24	35	6.5	56	35	M6 x10	
BNT 2005A	20	5	3.175	20.5	17.2	1x2.65	48	24	35	6.5	35	22	M6 x10	
BNT 2505A	25	5	3.175	25.5	22.2	1x2.65	60	30	40	10	35	22	M8 x12	
BNT 2510B	25	10	6.350	26.8	20.2	2x2.65	60	30	40	10	94	60	M8 x12	
BNT 2806A	28	6	3.175	28.5	25.2	1x2.65	60	30	40	10	42	18	M8 x12	
BNT 2806B	28	6	3.175	28.5	25.2	2x2.65	60	30	40	10	67	40	M8 x12	
BNT 3610A	36	10	6.350	37.0	30.5	1x2.65	86	43	60	13	64	45	M10 x16	
BNT 3610B	36	10	6.350	37.0	30.5	2x2.65	86	43	60	13	96	60	M10 x16	
BNT 4512B	45	12	7.144	46.5	39.2	2x2.65	100	50	75	12.5	115	75	M12 x20	

Simbol	Dimensiuni [mm]											Capac. de înc.	
	F _r ±0.05	K	T	R	E	h ₁	h ₂	S	M	N	Lung max	C _a kgf	C _{0a} kgf
BNT 1404C	13	20.4	6	14	2	6	2	M6x1	17	16	1000	570	1170
BNT 1405A	13	20.4	6	14	2	6	2	M6x1	18	16	1000	510	1160
BNT 1808C	17	26.6	10	18	3	8	3	M6x1	27	26	1500	1340	3170
BNT 2005A	17	26.6	9	18	3	5	3	M6x1	22	20	1500	610	1690
BNT 2505A	20	32.4	9.5	22	5	7	5	M6x1	25	23	1500	680	2130
BNT 2510B	23	32.4	10	22	2	10	-	M6x1	30	32	1500	3190	8540
BNT 2806A	22	32.4	10	22	3	8	-	M6x1	28	25	2500	720	2390
BNT 2806B	22	32.4	10	22	3	8	-	M6x1	28	25	2500	1300	4780
BNT 3610A	29	49.6	17	32	9	11	-	M6x1	38	38	3000	2130	6060
BNT 3610B	29	49.6	17	32	9	11	-	M6x1	38	38	3000	3860	12100
BNT 4512B	36	62.6	20.5	40	12	13	-	M6x1	44	44	4000	5060	17300

Tab. 3.18

Transmisie cu cuplă cinematică elicoidală de rostogolire, varianta: BLK											
											
Simbol	Dimensiuni [mm]										
	d	e pas	D _a diam bilă	dp	d ₁	Circ. x ture	D	L	M	A	H
BLK 1510G	15	10	3.175	15.75	12.5	2x2.8	34	44	3.5	57	10
BLK 1616E	16	16	2.778	16.65	13.7	4x1.8	32	42	3.5	53	10
BLK 2020E	20	20	3.175	20.75	17.5	4x1.8	39	52	3.5	62	10
BLK 2525E	25	25	3.969	26.0	22.0	4x1.8	47	62	3.5	74	12
BLK 3232E	32	32	4.763	33.25	28.3	4x1.8	58	77	3.8	92	15
BLK 3620G	36	20	6.350	37.75	31.2	2x2.8	70	78	5.0	110	17
BLK 3636E	36	36	5.556	37.4	31.7	4x1.8	66	90	5.0	106	17
BLK 4040D	40	40	6.350	41.75	35.2	2x1.8	73	95	5.4	114	17
BLK 4040E	40	40	6.350	41.75	35.2	4x1.8	73	95	5.4	114	17
BLK 5050D	50	50	7.938	52.2	44.1	2x1.8	90	122	5.4	135	20
BLK 5050E	50	50	7.938	52.2	44.1	4x1.8	90	122	5.4	135	20

Simbol	Dimensiuni [mm]					Capacit. de înc.		
	F	PCD	C	T	S	Lungimi standard	C _a kgf	C _{0a} kgf
BLK 1510G	24	45	5.5	20	M6x1	500, 1000	1000	2570
BLK 1616E	23	42	4.5	19			1070	2640
BLK 2020E	31	50	5.5	23		500, 1000, 1500	1420	4560
BLK 2525E	39	60	6.6	28		1000, 1500, 2000	2230	7140
BLK 3232E	49	74	9	34		1000, 1500, 2000, 2500	3200	11000
BLK 3620G	45	90	11	40		1000, 1500, 2000, 2500, 3000	4060	12400
BLK 3636E	57	85	11	38			4140	14400
BLK 4040D	62	93	11	42			2870	9170
BLK 4040E	62	93	11	42			5210	18300
BLK 5050D	81	112	14	52		1000, 1500, 2000, 3000, 4000	4290	14300
BLK 5050E	81	112	14	52			7790	28700

Tab. 3.19

Pagina 6

Transmisie cu cuplă cinematică elicoidală de rostogolire, varianta: **BNFN**

Simbol	Dimensiuni [mm]									
	d	e - pas	D _a diam bilă	dp	d _l	Circuite x ture	D	A	H	F
BNFN 1605-2.5	16	5	3.175	16.75	13.2	1x2.5	40	60	10	28
BNFN 1810-2.5	18	10	3.175	18.8	15.5	1x2.5	42	65	12	45
BNFN 2005-5	20	5	3.175	20.75	17.2	2x2.5	44	67	11	42
BNFN 2508-3	25	8	4.763	26.25	20.5	2x1.5	58	85	15	51
BNFN 3210A-5	32	10	6.350	33.75	26.4	2x2.5	74	108	15	78
BNFN 3608-5	36	8	4.763	37.25	31.6	2x2.5	70	114	18	64
BNFN 4010-3	40	10	6.350	41.75	34.4	2x1.5	82	124	18	65
BNFN 4512-5	45	12	7.144	47.0	39.2	2x2.5	90	130	18	93
BNFN 5012-5	50	12	7.938	52.25	43.3	2x2.5	100	146	22	93
BNFN 6312A-5	63	12	7.938	65.25	56.3	2x2.5	115	161	22	93
BNFN 7010-5	70	10	6.350	71.75	64.5	2x2.5	125	167	18	80
BNFN 8010-5	80	10	6.350	81.8	75.2	2x2.5	130	176	22	78
BNFN 8020A-5	80	20	9.525	82.7	72.9	2x2.5	143	204	28	142

Simbol	Dimensiuni [mm]								Capacit. de înc.		Rigid
	E	L	M	W	X	Y	Z	S	C _a kgf	C _{0a} kgf	K kgf/μm
BNFN 1605-2.5	3	76	3	50	4.5	8	4.5	M6	760	1420	36
BNFN 1810-2.5	5	119	12	53	5.5	9.5	5.5		800	1620	37
BNFN 2005-5	4	106	3	55	5.5	9.5	5.5		1540	3570	78
BNFN 2508-3	8	135	5	71	6.6	11	6.5		1890	4020	61
BNFN 3210A-5	6	190	7	90	9	14	8.5		4820	11500	126
BNFN 3608-5	8	164	10	92	11	17.5	11		3480	9700	132
BNFN 4010-3	9	170	7	102	11	17.5	11		3450	8620	92
BNFN 4512-5	8	227	8	110	11	17.5	11	PT 1/8	6650	18200	167
BNFN 5012-5	8	231	8	122	14	20	13		8040	22500	185
BNFN 6312A-5	8	231	8	137	14	20	13		8920	28400	222
BNFN 7010-5	10	201	13	145	11	17.5	11		6830	25200	233
BNFN 8010-5	6	197	7	152	14	20	13		7200	28900	256
BNFN 8020A-5	10	347	17	172	18	26	17.5		16700	60100	350